

# 分歧構造の応力波伝播について

広島大学工学部 正員 ○ 佐藤 誠  
広島大学工学部 学員 原 誠己

## 1. まえがき

筆者らは構造物一基準系の応力波伝播についての研究を続けているが、本研究はその一部として分歧構造に対する応力波伝播機構を解明するために行なったものである。

分歧構造のようを複雑な境界条件を持つものについて、波動方程式の厳密解を求めるることは極めて困難である。そのため、こゝではこれらを一般的に取扱うために、差分法を用いて数値解を求めた。また同時に、筆者らが従来行なって来た高速カメラによる動光弾性実験の欠点を補う目的で、マイクロフラッシュと遅延回路を用いて光導制御方式による一駆動り動光弾性撮影を試みたので、数値解との比較の対象とした。

## 2. 解析方法

等方弾性に対する物体力を無視した場合の2次元問題における波動方程式は次のようになる。

$$\rho \ddot{U}_i = (\lambda + \mu) U_{i,j+1} + \mu U_{i,j-1}, \quad i, j = 1, 2. \quad (1)$$

こゝに、 $U_i$  は変位成分、 $\lambda, \mu$  は Lamé の定数、 $\rho$  は密度である。(1) 式を中央差分による差分式に書き直すと、

$$U_{i,j,k+1} - 2U_{i,j,k} + U_{i,j,k-1} = C_1^2 \left( \frac{\Delta t}{\Delta x} \right)^2 (U_{i,j+1,k} - 2U_{i,j,k} + U_{i,j-1,k}) \\ + (C_1^2 - C_2^2) \frac{\Delta t^2}{\Delta x^2} (U_{i,j+1,k} - U_{i,j-1,k} + U_{i,j-1,k} - U_{i,j-1,k}) \\ + C_2^2 \left( \frac{\Delta t}{\Delta y} \right)^2 (U_{i,j+1,k} - 2U_{i,j,k} + U_{i,j-1,k})$$

$$U_{i,j,k+1} - 2U_{i,j,k} + U_{i,j,k-1} = C_1^2 \left( \frac{\Delta t}{\Delta y} \right)^2 (U_{i,j+1,k} - 2U_{i,j,k} + U_{i,j-1,k}) \\ + C_1^2 (C_1^2 - C_2^2) \frac{\Delta t^2}{\Delta x^2} (U_{i,j+1,k} - U_{i,j-1,k} + U_{i,j-1,k} - U_{i,j-1,k}) \\ + C_2^2 \left( \frac{\Delta t}{\Delta x} \right)^2 (U_{i,j+1,k} - 2U_{i,j,k} + U_{i,j-1,k})$$

となる。

こゝに、 $\Delta t, \Delta x, \Delta y$  はそれぞれ、 $t, x, y$  軸方向の増分、 $C_1, C_2$  は綫波、横波の速度、 $U_{i,j,k}$  は  $k$  時間での  $(i, x, j, y)$  の  $x$  方向の変位であり、 $U_{i,j,k}$  も同様である。 $x$  の stencil を図-1 に示す。

なお、上記の差分方程式に対する安定性の条件は、 $\Delta t = \Delta y$  のとき、 $\left( \frac{\Delta t}{\Delta x} \right)^2 < \frac{1}{2(C_1^2 + C_2^2)}$  である。

## 3. 計算結果および実験結果

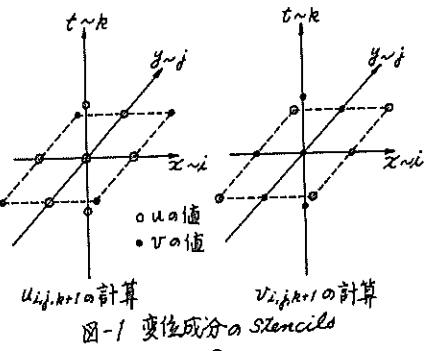


図-1 変位成分の stencil

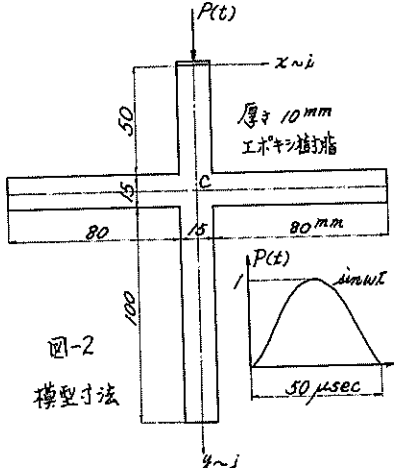


図-2

模型寸法

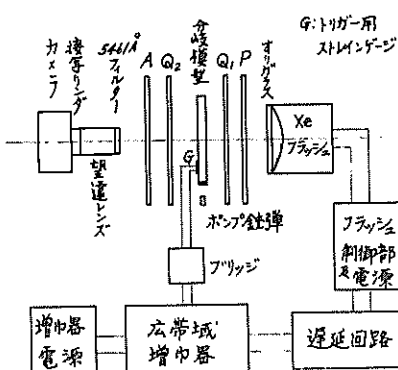


図-3 一駆動り動光弾性実験装置のブロックダイアグラム

本文で対象とした分岐構造を図-2 に示す。数値計算は定常性の条件を考慮して、 $\Delta x = \Delta y = 2.5 \text{ mm}$ ,  $\Delta t = 0.5 \mu\text{sec}$ として行った。また衝撃荷重は動光弹性実験の場合に近いものとして、衝撃波に単位の振巾を持つ half-sine の荷重を与えた。計算結果の例を図-4、図-5 に示す。

本実験に用いた一駆撮影撮影のプローフタイアグラムを図-3 に示す。この方向においては、衝撃波の再現性が問題となる。ポンフ銃弾の弾速に若干のばらつきが認められたが、結果はほぼ満足できるものである。図-5 で示した分岐部分の等色線写真的例を写真-1 に示す。写真マイクロフラッシュの闪光時間は約  $1.7 \mu\text{sec}$  であるため、応力波の変化の激しい部分、高次の繰次数が同時に現われる部分は等色線が不明瞭となっている。この点については改良法を研究中である。

#### 4. 結果の考察

図-4 に示した対称軸上  $\delta_y$  の変化から、集中衝撃の影響が衝撃波から  $2 \text{ cm}$  以上では無視できること、分岐部から圧縮及射波が生じることがわかった。

図-5、写真-1 の等主応力差線から、対称軸上を経波が進行する途中で、進行方向に波面が凸、凸を繰返しており、これが geometrical dispersion の効果を示していることがわかる。また両者の等色線としての比較から、極めて良く一致している。今後はこれらの結果とともに、複数の分岐構造を取り上げ、構造物全体の応力波伝播機構を解明する予定である。写真本研究費、44 年度科学的研究費、試験研究補助金によって行なったものであることを附記する。

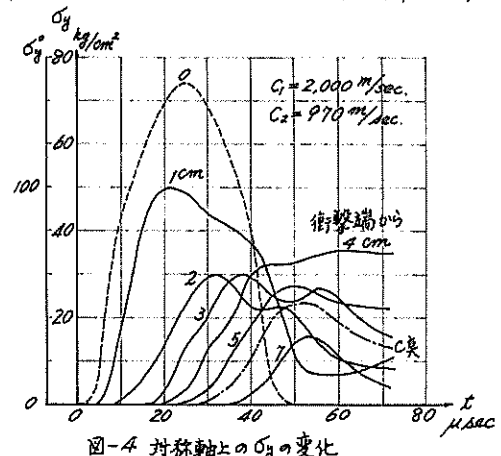


図-4 対称軸上の  $\delta_y$  の変化

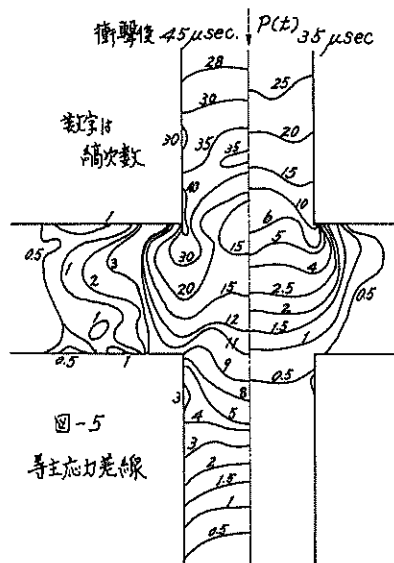


図-5  
等主応力差線

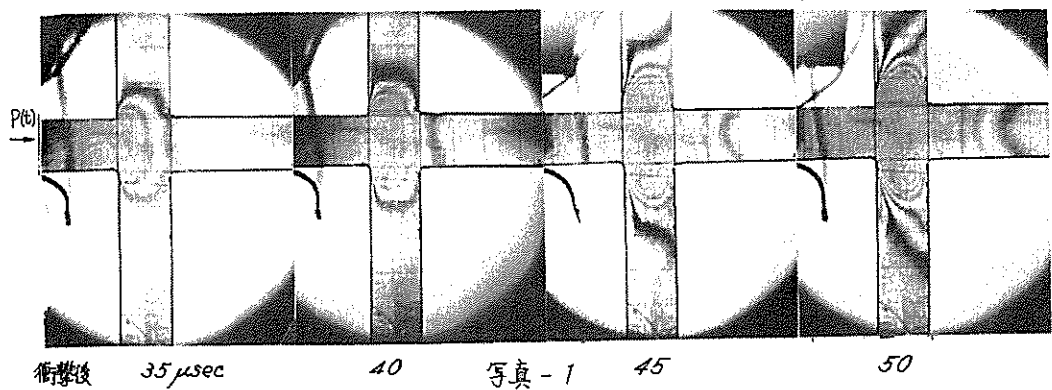


写真-1